

С 343  
7-22



ОБЪЕДИНЕННЫЙ ИНСТИТУТ ЯДЕРНЫХ ИССЛЕДОВАНИЙ  
ЛАБОРАТОРИЯ ТЕОРЕТИЧЕСКОЙ ФИЗИКИ

---

В.В. Пашкевич

P-1563

МНОГОКРАТНОЕ КУЛОНОВСКОЕ ВОЗБУЖДЕНИЕ  
ВРАЩАТЕЛЬНЫХ СОСТОЯНИЙ  
НЕАКСИАЛЬНОГО ЧЕТНО-ЧЕТНОГО  
АТОМНОГО ЯДРА

*Изв. АН СССР, Сер. физ.,  
1965, т 20, № 2, стр. 249-257.*

Дубна 1964

В.В. Пашкевич

P-1563

МНОГОКРАТНОЕ КУЛОНОВСКОЕ ВОЗБУЖДЕНИЕ  
ВРАЩАТЕЛЬНЫХ СОСТОЯНИЙ  
НЕАКСИАЛЬНОГО ЧЕТНО-ЧЕТНОГО  
АТОМНОГО ЯДРА

Направлено в журнал  
"Известия АН СССР"

Дубна 1964

2330/1 чр

## В в е д е н и е

В последнее время эксперименты по многократному кулоновскому возбуждению атомных ядер приобретают все большее значение. Они позволяют как изучать свойства ранее открытых уровней, так и обнаруживать новые уровни, возбуждение которых в первом порядке теории возмущения запрещено.

Теория многократного кулоновского возбуждения, развитая Альдером и Уинтером<sup>/1/</sup>, применялась ими для исследования вращательных состояний аксиально-симметричных ядер и вибрационных возбуждений сферических ядер. В работе<sup>/2/</sup> теория обобщается на случай неаксиальных четно-четных атомных ядер, для описания которых применяется модель Давыдова-Филиппова. В данной работе вероятности кулоновского возбуждения ядра при рассеянии назад налетающей частицы, вычисленные в<sup>/2/</sup>, используются для вычисления дифференциального и полного сечения возбуждения вращательного спектра неаксиальных ядер.

Показано, что возбуждение основной вращательной полосы слабо зависит от параметра  $\gamma$ , характеризующего неаксиальность формы поверхности ядра. Дифференциальное и полное сечения возбуждения аномального уровня спина 2 существенно зависят от  $\gamma$ . Результаты сравниваются с предсказаниями теории возмущения<sup>/3/</sup> и вычислениями полного сечения вращательных состояний аксиально-симметричного ядра, проведенными Граетзером, Хуверманом и Бернстейном<sup>/4/</sup>.

Метод расчета дается в первом параграфе. Во втором параграфе приводятся численные результаты.

### § 1. Вычисление вероятности многократного кулоновского возбуждения неаксиального ядра при произвольном угле рассеяния налетающих частиц

Вращательные состояния неаксиального ядра описываются, согласно модели Давыдова-Филиппова, волновыми функциями

$$\Psi_M^J = \sum_{\substack{k \geq 0 \\ k \text{ четное}}} a_k(Jr) \left[ \frac{2J+1}{16\pi^2(1+\delta_{k0})} \right]^{1/2} [D_{Mk}^J + (-1)^J D_{M-k}^J], \quad (1)$$

где  $J$  - спин ядра,  $r$  - номер состояния со спином  $J$ ,  $D_{Mk}^J$  - обобщенная сферическая функция. Коэффициенты  $a_k(Jr)$  приведены в работах Давыдова и Филиппова<sup>/5/</sup> и Давыдова и Ростовского<sup>/6/</sup>.

В приближении удара, согласно <sup>1/2</sup>, вероятность перехода ядра из основного состояния спина 0 в возбужденное состояние с квантовыми числами  $Jr$  имеет вид:

$$P_{Jr} = (2J+1) \sum_M \left| \sum_K A_{MK}^J a_K(Jr) \right|^2. \quad (2)$$

Здесь интегралы  $A_{MK}^J$  представляют собой обобщение величин  $A_{JM}^{1/2}$  на случай неаксиального ядра.

$$A_{MK}^J = \frac{\sqrt{2}}{8\pi^2(1+\delta_{K0})^{1/2}} (D_{MK}^J(\theta_1, \theta_2, \theta_3), S); \quad (3)$$

$$S = \exp \{ -2iq_{\text{эф}} [ \cos^2 \theta_2 - 1/3 + \lambda \sin^2 \theta_2 \cos 2\theta_3 - \nu \sin^2 \theta_2 \cos 2\theta_1 - \lambda \nu (\cos 2\theta_1 \cos 2\theta_3 (1 + \cos^2 \theta_2) - 2 \sin 2\theta_1 \sin 2\theta_3 \cos \theta_2) ] \}; \quad (4)$$

$$q = q(\theta) \cos \gamma, \quad q(\theta) = q J_{20}(\theta) / J_{20}(\pi), \quad (5)$$

$$\lambda = \tan \gamma / \sqrt{3}, \quad \nu = J_{22}(\theta) / J_{20}(\theta), \quad (6)$$

где  $q$  - безразмерный параметр, зависящий как от внутренних свойств ядра, так и от условий возбуждения,  $J$  - орбитальные интегралы <sup>1/2</sup>,  $\theta$  - угол отклонения налетающей частицы. Скалярное произведение берется в пространстве углов Эйлера, определяющих ориентацию системы координат, жестко связанной с ядром, относительно лабораторной системы:

$$(\Psi, \Phi) = \int_0^{2\pi} d\theta_1 \int_0^{\pi} d\theta_2 \sin \theta_2 \int_0^{2\pi} d\theta_3 \Psi^* \Phi.$$

Таким образом, вычисление вероятности перехода сводится к вычислению интегралов  $A_{MK}^J$ . Метод вычисления этих величин при  $\theta = \pi$  (т.е.  $\nu = 0$ ) изложен в <sup>1/2</sup>. Чтобы найти приближенное выражение для  $A_{MK}^J$  при  $\theta \neq \pi$ , разложим  $S$  в ряд по степеням  $\nu$ . Предварительно представим (4) в форме:

$$S = S_0 \exp \{ i\sqrt{3}/3 q_{\text{эф}} \nu [ D_{20}^2 + D_{-20}^2 + \sqrt{3}/2 \lambda ( D_{22}^2 + D_{-22}^2 + D_{2-2}^2 + D_{-2-2}^2 ) ] \}, \quad (7)$$

где

$$S_0 = S|_{\nu=0}.$$

Теперь разложение  $A_{MK}^J$  в ряд принимает вид:

$$A_{MK}^J = \frac{\sqrt{2}}{8\pi^2(1+\delta_{K0})^{1/2}} \sum_{n=|M|/2}^{\infty} \frac{(i\sqrt{3}/3 q_{\text{эф}} \nu)^n}{n!} \times (D_{MK}^J, S_0 | D_{20}^2 + D_{-20}^2 + \sqrt{3}/2 \lambda [ D_{22}^2 + D_{-22}^2 + D_{2-2}^2 + D_{-2-2}^2 ] |^n). \quad (8)$$

Суммирование в (7) начинается с  $n = |M|/2$ , ибо все слагаемые при  $n < |M|/2$  пропадают в силу ортогональности  $D_{MK}^J$  и

$$S_0 | D_{20}^2 + D_{-20}^2 + \sqrt{3}/2 \lambda [ D_{22}^2 + D_{-22}^2 + D_{2-2}^2 + D_{-2-2}^2 ] |^n.$$

Следовательно, при  $\nu \rightarrow 0$   $A_{MK}^J$  стремится к нулю не медленнее, чем  $\nu^{|M|/2}$ .

В приложении А показано, что

$$A_{MK}^J(\nu) = (-1)^{M/2} A_{MK}^J(-\nu), \quad (9)$$

поэтому в ряде (6) попадают слагаемые с четным (нечетным)  $n$ , если  $M/2$  нечетно (четно). В связи с этим эффективным параметром разложения является

$$(\sqrt{3}/3 q_{\text{эф}} \nu)^2.$$

В наиболее неблагоприятном случае, когда  $J_{22}(\theta)$  достигает максимума, этот параметр приблизительно равен  $0,004 q^2$ . Отсюда видно, что вычисляя вероятности возбуждения при  $q < 5$ , можно ограничиться первым не исчезающим членом ряда. Относительная ошибка при этом максимальна при малых  $\theta$ , ибо нулевое по  $\nu$  приближенное стремится к нулю при  $\theta \rightarrow 0$ .

Вероятность возбуждения вращательных уровней с четным полным моментом  $J$  отлична от нуля в нулевом приближении по  $\nu$  при  $\theta \neq 0$ . В этом случае  $P_{Jr}$  зависит от угла рассеяния  $\theta$  только через  $q_{\text{эф}}$ , что можно записать в следующем виде:

$$P_{Jr}(q\theta) = P_{Jr}(q(\theta), \pi). \quad (10)$$

Это так называемое "  $q(\theta)$  -приближение".

Результаты вычислений дифференциального и полного сечений в этом приближении приводятся в следующем параграфе. Найдем явный вид поправки к  $P_{Jr}(q(\theta), \pi)$ . Как следует из (2) и (9),  $P_{Jr}$  - четная функция  $\nu$  и поэтому поправка квадратична по  $\nu$ . В нее могут входить только  $A_{MK}^J$  и  $A_{MK}^J$ , ибо величины  $A_{MK}^J$  с  $|M| > 2$  при малых  $\nu$  дают вклад в  $P_{Jr}$ , пропорциональный  $|\nu|^{M/2}$ , т.е. порядка выше второго. Таким образом, поправка к вероятности перехода принимает вид:

$$P_{Jr}(q\theta) - P_{Jr}(q\theta, \pi) \approx \nu^2 \Delta_{Jr} \quad (11)$$

где

$$\Delta_{Jr} = (8/3)(2J+1)\pi^2 \left[ -2\text{Re} \left| \sum_{JK} A_{oK}^J(q\theta, \pi) \times \right. \right. \\ \left. \left. \times A_{oK}^J(q\theta, \pi) a_K(Jr) C_{oK}^{Jj}(Jr) \right| + \right. \\ \left. + \left| \sum_{JK} A_{oK}^J(q\theta, \pi) C_{2K}^J(Jr) \right|^2 \right] \quad (12)$$

Величины  $C_{MK}^J(Jr)$ , не зависящие от  $q$ , определены в приложении В.

Вероятность возбуждения уровней с нечетным  $J$  исчезает в "q(θ) -приближении". Это следует из того, что  $(D^J, S)$  обращается в нуль при нечетном  $J$ , если либо  $M$ , либо  $K$  равно нулю<sup>12/МК</sup>. Вероятность возбуждения уровня спина 3 в первом исчезающем приближении поэтому квадратична по  $\nu$  и имеет вид:

$$P_{3r}(q\theta) \approx (56/3)(q_{эф} \nu)^2 \sum_{j=2,4} (2j+1) \binom{32j}{2-20} \times \\ \times \left[ \sqrt{3} \lambda \binom{32j}{2-20} A_{o0}^j(q\theta, \pi) + \right. \\ \left. + \binom{32j}{2-2} A_{o2}^j(q\theta, \pi) + \right. \\ \left. + \sqrt{3/2} \lambda \binom{32j}{2-4} A_{o4}^j(q\theta, \pi) \right]^2 \quad (13)$$

где использованы обозначения Вигнера для коэффициентов Клебша-Жордана, приведенные в работе Эдмондса<sup>17/</sup>.

## § 2. Дифференциальное и полное сечения. Численные результаты

Найдем дифференциальное и полное сечения многократного кулоновского возбуждения, используя приближенное выражение (10) для вероятности перехода

$$d\sigma_{Jr}(q\theta) \approx P_{Jr}(q\theta, \pi) d\sigma_R \quad (14)$$

где  $d\sigma_R$  - сечение Резерфордского рассеяния.

Полное сечение получаем интегрированием (14) по всем углам рассеяния налетающей частицы

$$\sigma_{Jr}(q) = \pi a^2 \int_0^\pi \frac{P_{Jr}(q\theta, \pi)}{\sin^2 \theta/2} \cos \theta/2 d\theta \quad (15)$$

Необходимые для вычисления  $d\sigma$  значения  $P_{Jr}(q\theta, \pi)$  получались интегрированием таблицы  $P_{Jr}(q\pi)$ <sup>12/</sup>.

Результаты расчетов по формулам (14) и (15) представлены сплошными кривыми на рисунках 1-4 и 5-8 соответственно. Кроме того, на рисунках 3-4 пунктиром изображена зависимость дифференциального сечения возбуждения второго уровня спина 2, полученная в первом порядке теории возмущения (в приближении удара). Каскадное возбуждение через первый уровень спина 2 при этом не учитывалось.

Из представленных графиков видно, что при описании рассеяния на большие углы теория возмущения дает ошибку тем большую, чем больше неаксиальность ядра. При малых  $\theta$  ошибка, вносимая "q(θ) -приближением", максимальна. В этой области углов при расчетах дифференциального сечения можно пользоваться теорией возмущения.

В полное сечение "q(θ) -приближение" не вносит большой ошибки, так как дифференциальное сечение дает вклад в полное сечение с весовым множителем  $\sin \theta$ , ослабляющим зависимость полного сечения от поведения дифференциального сечения при малых углах. Так, полное сечение, рассчитанное в теории возмущения с использованием "q(θ) -приближением", отличается не более, чем на 5% от полного сечения, вычисленного без использования этого приближения.

На рисунках 5-8, кроме полного сечения многократного кулоновского возбуждения неаксиального ядра, нанесены результаты аналогичных расчетов для аксиального ядра, выполненные Граетзером, Хуверманом и Берштейном<sup>14/</sup>. Кривые, представляющие сечения возбуждения первого уровня спина 4 на рис. 5 при  $\gamma = 0^{o/4/}$  и  $\gamma = 10^{o}$ , совпадают в пределах точности чертежа. При  $\gamma = 0^{o}$  результаты теории для неаксиальных ядер переходят в соответствующие результаты теории аксиальных ядер.

Зависимость полного сечения от параметра  $q$ , даваемая теорией возмущения (в приближении удара), нанесена на рис. 5 и 6 пунктирной кривой. Для вычисления полного сечения возбуждения первого уровня спина 2 использовалась обычная формула теории возмущения<sup>13/</sup>:

$$\sigma_{E2}(0 \rightarrow 21) = \left( \frac{21}{\hbar \nu} \right)^2 a^{-2} B(E2; 0 \rightarrow 21) f_{E2}(0) = \\ = 0,007 \pi a^2 q^2 b(E2; 0 \rightarrow 21), \quad (16)$$

где  $b(E_2; J\tau \rightarrow J'\tau')$  - приведенная вероятность электромагнитного перехода из состояния  $J\tau$  в состояние  $J'\tau'$  в единицах  $\frac{e^2 Q_0^2}{16\pi}$ . Возбуждение первого уровня спина 4 рассчитывалось во втором порядке теории возмущения по формуле

$$\sigma_{E_2 E_2} (0 \rightarrow J\tau) = 0,0272 a^2 \sigma_{E_2} (0 \rightarrow 21) \sigma_{E_2} (21 \rightarrow J) = 0,000703 \pi a^2 q^4 b(E_2; 0 \rightarrow 21) b(E_2; 21 \rightarrow J\tau) \quad (17)$$

при  $J=4, \tau=1$ .

Полное сечение возбуждения уровня  $J=2, \tau=2$  в теории возмущения вычислялось как в первом порядке, т.е. по формуле (16) (пунктирные кривые на рис. 6), так и с учетом каскадного перехода, сечение которого рассчитывалось по формуле (17) при  $J=2, \tau=2$ . Интерференционный член не учитывался. Зависимость суммы  $\sigma_{E_2} + \sigma_{E_2 E_2}$  от  $q$  при  $\gamma=10^\circ$  и  $\gamma=20^\circ$  изображена штрих-пунктирной кривой на рис. 6.

Из представленных результатов видно, что границы применимости теории возмущения при описании возбуждения основной вращательной полосы неаксиального и аксиального ядер совпадают. Полное сечение возбуждения аномального уровня спина  $2^+$ , рассчитанное по теории возмущения, заметно расходится с теорией многократного кулоновского возбуждения при  $q > (1,5-2)$ .

### З а к л ю ч е н и е

Можно отметить следующие особенности в поведении сечений многократного кулоновского возбуждения. Во-первых, уровни основной вращательной полосы слабо зависят от  $\gamma$ . Учет неаксиальности не дает заметных отклонений от предсказаний теории, развитой для аксиальных ядер. Во-вторых, сечение возбуждения аномальных уровней, в частности, уровня  $J=2, \tau=2$  чувствительно к изменению  $\gamma$ . Измеряя это сечение экспериментально, можно определить неаксиальность ядра, если эксперимент проводился в таких условиях, когда с достаточной точностью можно говорить о применимости приближения удара. В-третьих, с изменением угла рассеяния при фиксированном  $q$  или с изменением  $q$  при фиксированном  $\theta$  меняется характер зависимости сечения от  $\gamma$ . Это наиболее наглядно видно из рисунка 4. При малых  $\theta$  сечение рассеяния, рассматриваемое как функция  $\gamma$ , имеет максимум при  $\gamma \approx 20^\circ$ , а при  $\gamma \rightarrow 0^\circ$  и  $\gamma \rightarrow 30^\circ$  стремится к нулю. Такая же зависимость следует из теории возмущения, которая справедлива в этой области углов рассеяния. С ростом  $\theta$  зави-

симость меняется, что выражается в пересечении кривых, соответствующих разным  $\gamma$ . При  $\theta \approx \pi$  максимум в сечении достигается при  $\gamma \approx 30^\circ$ . Таким образом, в указанных пределах сечение становится монотонной функцией  $\gamma$  и, следовательно, по известному сечению можно однозначно определить  $\gamma$ .

Следует отметить слабую зависимость от  $\gamma$  дифференциального сечения возбуждения уровня спина  $J=6, \tau=1$  при  $q=2$ . Кривые, соответствующие  $\gamma=10^\circ, 20^\circ$  и  $30^\circ$ , в пределах точности чертежа сливаются в одну.

В заключение автор считает своим приятным долгом выразить благодарность профессору А.С. Давыдову за постоянный интерес к работе и ценные критические замечания. Автор также благодарен кафедре математики Физического факультета МГУ и Вычислительному центру МГУ за содействие и помощь при работе на электронно-счетной вычислительной машине.

### П Р И Л О Ж Е Н И Е А

Докажем, что

$$A_{MK}^J(q_{\text{эф}}, \lambda\nu) = (-1)^{M/2} A_{MK}^J(q_{\text{эф}}, \lambda, -\nu), \quad (1.A)$$

$$A_{MK}^J(q_{\text{эф}}, \lambda\nu) = (-1)^{K/2} A_{MK}^J(q_{\text{эф}}, -\lambda, \nu). \quad (2.A)$$

В работе [2] показано, что величины  $A_{MK}^J$  отличны от нуля только при четных  $M$  и  $K$  и пропорциональны интегралу

$$\int_0^\pi d\theta_1 \int_0^\pi d\theta_2 \sin \theta_2 \int_0^\pi d\theta_3 e^{i(M/2)\theta_1} e^{i(K/2)\theta_2} f(\lambda\nu, \theta_1, \theta_2, \theta_3), \quad (3.A)$$

где  $f(\lambda\nu, \theta_1, \theta_2, \theta_3) =$

$$= d_{MK}^J(\theta_3) \exp \{ -2iq_{\text{эф}} [\cos^2 \theta_2 - 1/3 + \lambda \sin^2 \theta_2 \cos \theta_3 - \nu \sin^2 \theta_2 \cos \theta_1 - \lambda\nu [\cos \theta_1 \cos \theta_3 (1 + \cos^2 \theta_2) - 2 \sin \theta_1 \sin \theta_2 \cos \theta_3] ] \}.$$

Здесь было использовано то обстоятельство, что

$$D_{MK}^J(\theta_1, \theta_2, \theta_3) = e^{iM\theta_1} d_{MK}^J(\theta_3) e^{iK\theta_2}.$$

Так как

$$f(\lambda\nu, \theta_1 + \pi, \theta_2, \theta_3) = f(\lambda, -\nu, \theta_1, \theta_2, \theta_3)$$

и функция  $f$  имеет период  $2\pi$  по аргументу  $\theta$ , то, проведя в интеграле (3.А) замену

$$\theta_j = \theta'_j + \pi,$$

получим соотношение (1.А). Аналогично, используя свойство функции  $f$

$$f(\lambda \nu \theta_1 \theta_2, \theta_3 + \pi) = f(-\lambda, \nu \theta_1 \theta_2 \theta_3)$$

и ее периодичность с периодом  $2\pi$  по аргументу  $\theta_j$ , получаем (2А).

## ПРИЛОЖЕНИЕ В

Найдем приближенное выражение для  $A_{JK}^j(q\theta)$  и разности  $A_{OK}^j(q\theta) - A_{OK}^j(q\theta, \pi)$ , необходимые для вычисления квадратичной по  $\nu$  поправки к вероятности перехода (11). Используя (3) и (8), получим

$$\begin{aligned} & A_{OK}^j(q\nu) - A_{OK}^j(q\theta, \pi) = \\ & = -(8/3)(q_{эф} \nu)^2 \sum_{j, j'} (2j+1)(2j'+1) \begin{pmatrix} 2 & 2 & j' \\ 0 & 0 & 0 \end{pmatrix} \begin{pmatrix} j & j' & j \\ 0 & 0 & 0 \end{pmatrix} \times \\ & \times \{ [ \begin{pmatrix} 2 & 2 & j' \\ 0 & 0 & 0 \end{pmatrix} + 3\lambda^2 \begin{pmatrix} 2 & 2 & j' \\ 2 & -2 & 0 \end{pmatrix} ] \begin{pmatrix} j & j' & j \\ K & 0 & -K \end{pmatrix} A_{OK}^j(q\theta, \pi) + \\ & + \lambda \left[ \frac{6}{1 + \delta_{K0}} \right]^K \begin{pmatrix} 2 & 2 & j' \\ 0 & -2 & 2 \end{pmatrix} [(1 + \delta_{K,-2})^K \begin{pmatrix} j & j' & j \\ K & 2 & -K-2 \end{pmatrix} A_{OK+2}^j(q\theta, \pi) + \\ & + (1 + \delta_{K2})^K \begin{pmatrix} j & j' & j \\ K & -2 & -K+2 \end{pmatrix} A_{OK-2}^j(q\theta, \pi)] + \\ & + \frac{3\lambda^2}{2(1 + \delta_{K0})^K} \begin{pmatrix} 2 & 2 & j' \\ -2 & -2 & 4 \end{pmatrix} [(1 + \delta_{K,-4})^K \begin{pmatrix} j & j' & j \\ K & 4 & -K-4 \end{pmatrix} A_{OK+4}^j(q\theta, \pi) + \\ & + (1 + \delta_{K4})^K \begin{pmatrix} j & j' & j \\ K & -4 & -K+4 \end{pmatrix} A_{OK-4}^j(q\theta, \pi)] \}. \end{aligned} \quad (1B)$$

$$A_{JK}^j(q\theta) = i\sqrt{8/3} q_{эф} \nu \sum_j (2j+1) \begin{pmatrix} j & 2 & j \\ 2 & -2 & 0 \end{pmatrix} \times$$

$$\times [ \begin{pmatrix} j & 2 & j \\ K & 0 & -K \end{pmatrix} A_{OK}^j(q\theta, \pi) +$$

(2B)

$$\begin{aligned} & + \lambda \left[ \frac{3(1 + \delta_{K,-2})}{2(1 + \delta_{K,0})} \right]^K \begin{pmatrix} j & 2 & j \\ K & 2 & -K-2 \end{pmatrix} A_{OK+2}^j(q\theta, \pi) + \\ & + \lambda \left[ \frac{3(1 + \delta_{K2})}{2(1 + \delta_{K,0})} \right]^K \begin{pmatrix} j & 2 & j \\ K & -2 & -K+2 \end{pmatrix} A_{OK-2}^j(q\theta, \pi) \}. \end{aligned} \quad (2B)$$

При  $\nu \rightarrow 0$  выражения (1.В) и (2.В) отличны от нуля только при  $K=0$  и переходят в соответствующие выражения, полученные для аксиального ядра Альдером и Уинтером [1].

С помощью (1.В) и (2.В) легко показать, что

$$\sum_{K \geq 0} A_{OK}^j(q\theta) a_K(Jr) = \sum_{\substack{K \geq 0 \\ K \text{ четное}}} A_{OK}^j(q\theta, \pi) a_K(Jr) -$$

$$-(8/3)(q_{эф} \nu)^2 \sum_{\substack{0 < K < J \\ K \text{ и } J \text{ четные}}} A_{OK}^j(q\theta, \pi) C_{OK}^j(Jr)$$

$$\sum_{\substack{K \geq 0 \\ K \text{ четное}}} A_{2K}^j(q\theta) a_K(Jr) =$$

$$= i\sqrt{8/3} q_{эф} \nu \sum_{\substack{0 < K < J \\ K \text{ и } J \text{ четные}}} A_{OK}^j(q\theta, \pi) C_{2K}^j(Jr),$$

где  $C_{mK}^j$  определяются следующим образом:

$$C_{mK}^j = (\bar{C}_{mK}^j + \bar{C}_{m-K}^j) (1 + \delta_{K0})^{-1},$$

$$\bar{C}_{OK}^j(Jr) = \sum_{j'} (2j+1)(2j'+1) \begin{pmatrix} 2 & 2 & j' \\ 2 & -2 & 0 \end{pmatrix} \begin{pmatrix} j & j' & j \\ 0 & 0 & 0 \end{pmatrix} \times$$

$$\times [ [ \begin{pmatrix} 2 & 2 & j' \\ 0 & 0 & 0 \end{pmatrix} + 3\lambda^2 \begin{pmatrix} 2 & 2 & j' \\ 2 & -2 & 0 \end{pmatrix} ] \begin{pmatrix} j & j' & j \\ K & 0 & -K \end{pmatrix} a_K(Jr) +$$

$$+ \sqrt{6} \lambda [ \begin{pmatrix} j & j' & j \\ K-2 & 2 & -K \end{pmatrix} \frac{a_{K-2}(Jr)}{(1 + \delta_{K2})^K} + \begin{pmatrix} j & j' & j \\ K+2 & -2 & -K \end{pmatrix} \frac{(1 + \delta_{K0})^K}{(1 + \delta_{K,-2})^K} a_{K+2}(Jr) ] \begin{pmatrix} 2 & 2 & j' \\ 0 & 2 & -2 \end{pmatrix} +$$

$$+ \frac{3\lambda^2}{2} \begin{pmatrix} 2 & 2 & j' \\ -2 & -2 & 4 \end{pmatrix} [ \begin{pmatrix} j & j' & j \\ K-4 & 4 & -K \end{pmatrix} \frac{a_{K-4}(Jr)}{(1 + \delta_{K4})^K} +$$

$$+ \begin{pmatrix} j & j' & j \\ K+4 & -4 & -K \end{pmatrix} \frac{(1 + \delta_{K0})^K}{(1 + \delta_{K,-4})^K} a_{K+4}(Jr) ] \}. \quad \bar{C}_{2K}^j = (2j+1) \begin{pmatrix} j & 2 & j \\ 2 & -2 & 0 \end{pmatrix} [ \begin{pmatrix} j & 2 & j \\ K & 0 & -K \end{pmatrix} a_K(Jr) +$$

$$C_{2K}^j = (2j+1) \begin{pmatrix} j & 2 & j \\ 2 & -2 & 0 \end{pmatrix} [ \begin{pmatrix} j & 2 & j \\ K & 0 & -K \end{pmatrix} a_K(Jr) +$$

$$\begin{aligned}
& + \lambda \left( \frac{3}{2(1+\delta_{K,2})} \right)^{1/2} \begin{pmatrix} J & 2 & J \\ K-2 & 2 & -K \end{pmatrix} a_{K-2}(Jr) + \\
& + \lambda \left( \frac{3(1+\delta_{K,2})}{2(1+\delta_{K,2})} \right)^{1/2} \begin{pmatrix} J & 2 & J \\ K+2 & -2 & -K \end{pmatrix} a_{K+2}(Jr) \Big| ,
\end{aligned}$$

где всюду следует положить  $a_K(Jr) = 0$  при  $K < 0$ . В случае  $J = 2$  величины  $C_{OK}^J(2r)$  имеют вид:

$$C_{00}^0 = (2/35)(3\lambda^2 - 1) a_0 + (4\sqrt{3}/\sqrt{35}) \lambda a_2 ,$$

$$C_{00}^2 = (1/7)(1 + 6\lambda^2) a_0 - (\sqrt{3}/7) \lambda a_2 ,$$

$$C_{00}^4 = (6/35)(2\lambda^2 - 8) a_0 + (6\sqrt{3}/35) \lambda a_2 ,$$

$$C_{00}^6 = (3/154)(2 + \lambda^2) a_0 + (\sqrt{3}/77) \lambda a_2 ,$$

$$C_{02}^2 = (-\sqrt{3}/70) \lambda a_0 + (1/7)(2 + 3\lambda^2) a_2 ,$$

$$C_{02}^4 = (+12\sqrt{3}/77) \lambda a_0 + (12/77) \sqrt{35}(2\lambda^2 - 1) a_2 ,$$

$$C_{02}^6 = (2/11) \sqrt{6/35} \lambda a_0 + (1/22\sqrt{70})(4 + 3\lambda^2) a_2 ,$$

$$C_{04}^4 = (-6/11\sqrt{35}) \lambda^2 a_0 + (18\sqrt{3}/11\sqrt{35}) a_2 ,$$

$$C_{04}^6 = (3\lambda^2/22\sqrt{7}) a_0 + (\sqrt{3}/11\sqrt{7}) a_2 ,$$

$$C_{06}^6 = (3\lambda^2/2\sqrt{154}) a_2 .$$

### Л и т е р а т у р а

1. K. Alder, A. Winther. *Math. Fys. Medd. Dan. Vid. Selsk.*, 32, N 8 (1960).
2. В.В. Пашкевич. "Вестник Московского университета", сер. физики, астрономии, № 6, 85, 1963.
3. K. Alder, A. Bohr, T. Husa, B. Mottelson, A. Winter. *Revs. Mod. Phys.*, 28, 432 (1956). (Перевод: см. сб. "Деформация атомных ядер". ИЛ, 1958 г.)
4. R. Graetzer, R. Hooverman, E.M. Bergstein. *Nucl. Phys.*, 39, 124 (1962).
5. А.С. Давыдов, Г.Ф. Филиппов. *ЖЭТФ*, 35, 440 (1958).
6. А.С. Давыдов, В.С. Ростовский. *ЖЭТФ*, 36, 1788 (1959).
7. A.R. Edmonds. *Angular Momentum in Quantum Mechanics*, CERN, 55-26, Geneva. (Перевод: см. сб. "Деформация атомных ядер". ИЛ, 1958).

Рукопись поступила в издательский отдел  
12 февраля 1964 г.



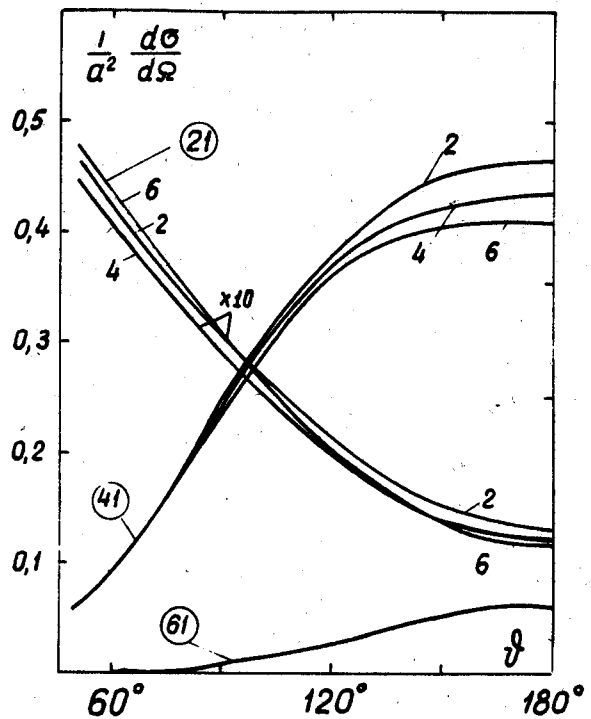


Рис. 1. Дифференциальное сечение многократного кулоновского возбуждения вращательного спектра неаксиального ядра в единицах  $a^2$  в зависимости от угла рассеяния  $\theta$ . В кружках даны значения  $J\gamma$  возбуждаемого уровня. Для каждого  $J\gamma$  приведены кривые при различных значениях параметра неаксиальности  $\gamma$ : 2-10°, 4-20°, 6-30°. Параметр  $q=2$ . Кривая  $J=2, \gamma=1$  дана в относительном масштабе 10:1.

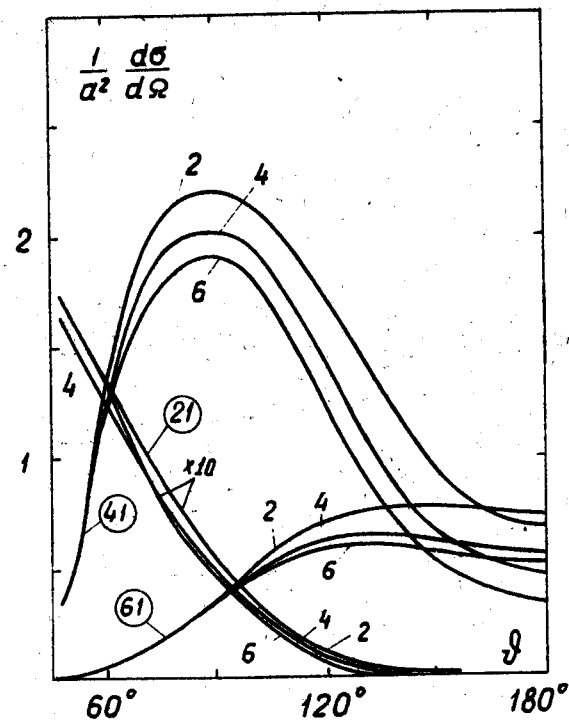


Рис. 2. То же, что и на рис. 1, при  $q=4$ .

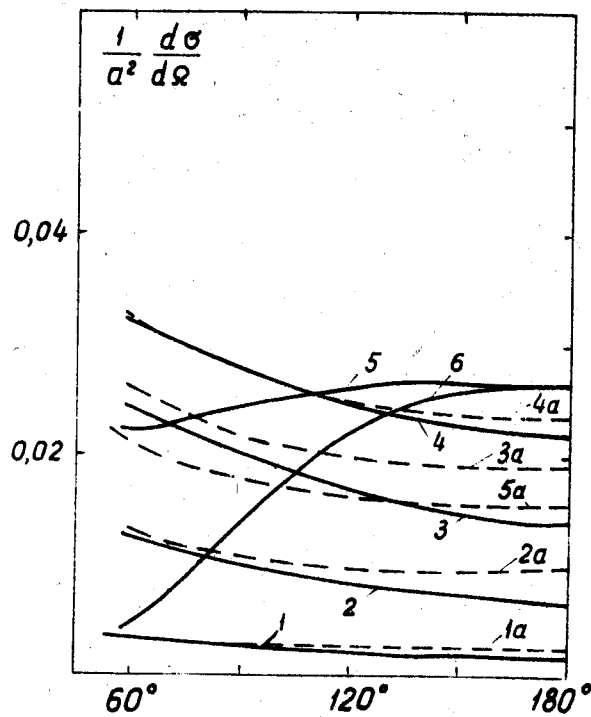


Рис. 3. Дифференциальное сечение многократного кулоновского возбуждения второго уровня спина  $2^+$  неаксиального ядра в единицах  $a^2$  в зависимости от угла рассеяния  $\theta$ . Приведены кривые при различных значениях параметра неаксиальности  $\gamma$ : 1- $5^\circ$ , 2- $10^\circ$ , 3- $15^\circ$ , 4- $20^\circ$ , 5- $25^\circ$ , 6- $30^\circ$ . Параметр  $q = 2$ . Пунктиром нанесены результаты теории возмущения.

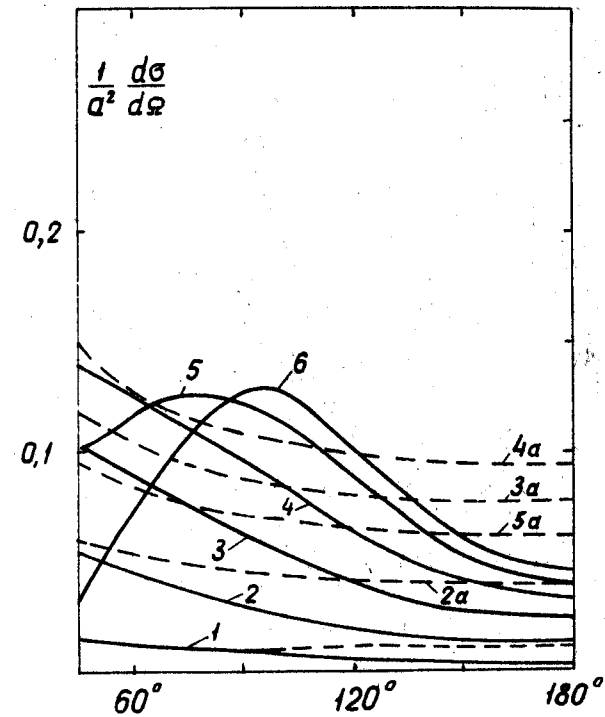


Рис. 4. То же, что и на рис. 1, при  $q = 4$ .

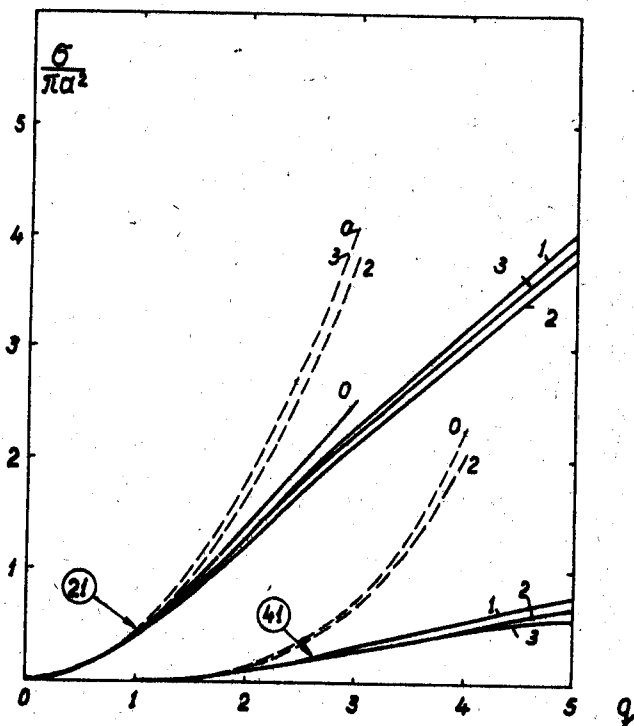


Рис. 5. Полное сечение многократного кулоновского возбуждения вращательного спектра неаксиального ядра в единицах  $\pi a^2$  в зависимости от параметра  $q$ . В кружках даны значения  $J_r$ . Для каждого  $J_r$  приведены кривые при различных значениях параметра неаксиальности  $\gamma$ :  $0-0^\circ/4$ ,  $1-10^\circ$ ,  $2-20^\circ$ ,  $3-30^\circ$ . Пунктиром нанесены результаты теории возмущения.

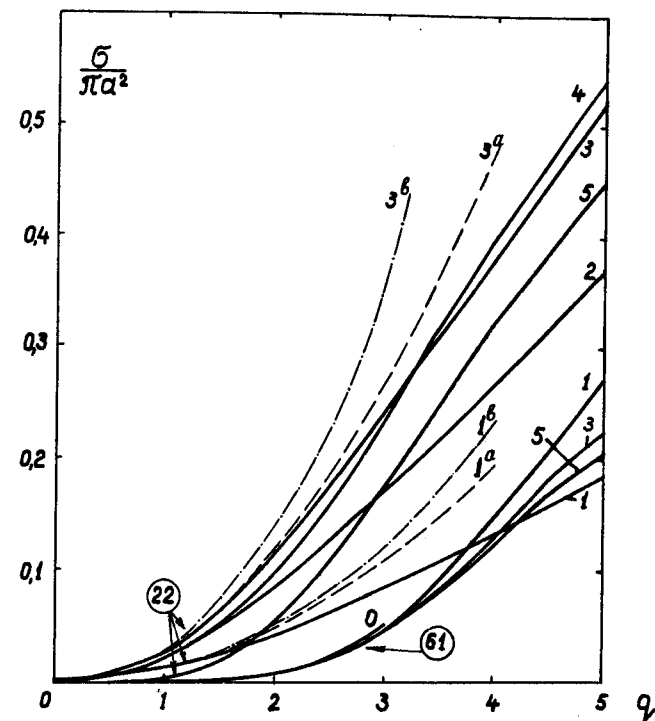


Рис. 6. Полное сечение многократного кулоновского возбуждения, вращательного спектра неаксиального ядра в единицах  $\pi a^2$  в зависимости от параметра  $q$ . В кружках даны значения  $J_r$ . Приведены кривые при следующих значениях параметра неаксиальности  $\gamma$ :  $0-0^\circ/4$ ,  $1-10^\circ$ ,  $2-15^\circ$ ,  $3-20^\circ$ ,  $4-25^\circ$ ,  $5-30^\circ$ . Пунктиром нанесены результаты в первом порядке теории возмущения:  $\gamma = 10^\circ - 1a$  и  $\gamma = 20^\circ - 3a$ . Штрих-пунктир - сумма сечений прямого и каскадного возбуждения через первый уровень спина 2, вычисленных в теории возмущения, причем параметр  $\gamma$  равен  $10^\circ$  и  $20^\circ$  для кривых  $1b$  и  $3b$ , соответственно.